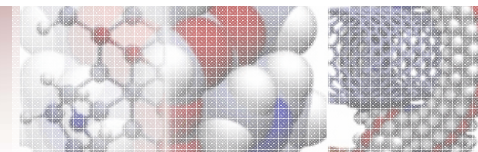


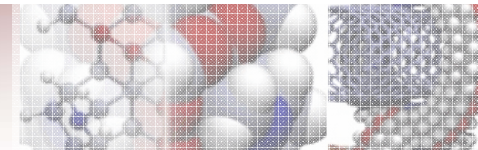
# Filme de $\text{TiO}_2$ nanostructurate prin anodizarea Ti in electrolit pe baza de fluorura pentru aplicatii la celule solare

*E. Manea, C.Obreja, M. Purica ,V. Schiopu, F.Comanescu*  
IMT- Bucharest

Lucrare finantata din Programul: **POSDRU/89/1.5/S/63700**



- **INTRODUCERE**
- **EXPERIMENT**
- **CARACTERIZARI**
- **CONCLUZII**



TiO<sub>2</sub> este un material oxidic de tip A<sub>II</sub>B<sub>VI</sub> cu banda interzisa larga (> 3 eV) si se prezinta in mai multe forme de cristalizare.

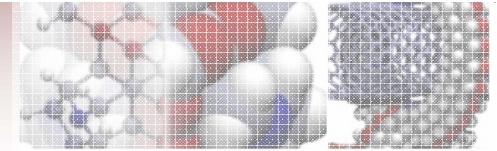
Poate fi obtinut cu proprietati adecvate pentru numeroase tipuri de aplicatii cum sunt in celule fotovoltaice, senzori de gaz, senzori biologici, acoperiri optice.

### *Metode de obtinere a straturilor de TiO<sub>2</sub>*

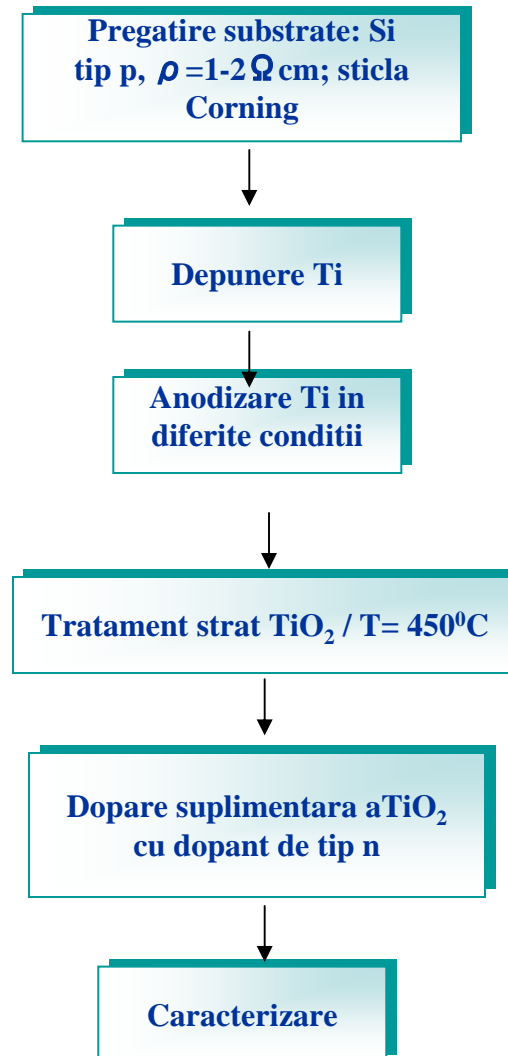
- Sol-gel;
- Anodizare strat metalic subtire de Ti depus pe diferite substraturi;
- Pyroliza – spray;
- Anodizare folie Ti pentru obtinerea de nanotuburi de TiO<sub>2</sub>.

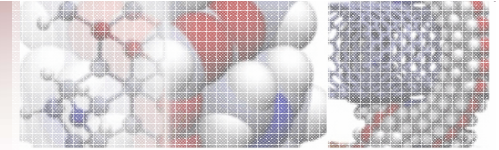
Metoda de obtinere a TiO<sub>2</sub> prin anodizarea unui strat subtire de Ti este compatibila cu tehnologia celulelor fotovoltaice pe siliciu si permite controlarea nano structurarii.

Poate fi utilizata si la realizarea de celule solare pe baza de pigmenti, (DSC)



Principalele etape ale procesului de obtinere a straturilor de  $\text{TiO}_2$  prin anodizarea titanului metalic.

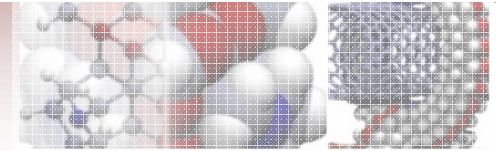




## DEPUNEREA FILMELOR DE TITAN

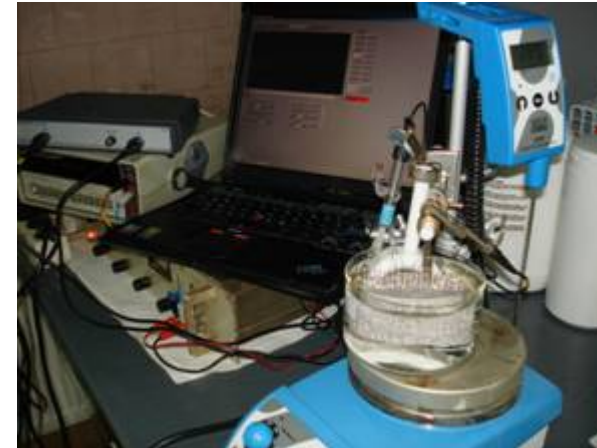
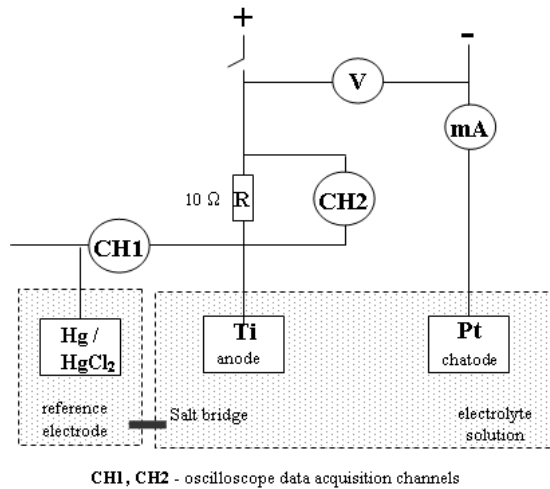
- Tehnica utilizata:** DC sputtering din tinta de Ti cu puritatea 99,9%.
- Condițiile de depunere:** presiunea in camera de depunere a fost  $1.82 \cdot 10^{-3}$  Pa utilizind un debit de argon de 2.5 sccm la o putere de 100W.
- Substraturile pe care s-au depus filme de Ti:** plachete de siliciu de tip p, cu rezistivitatea de 1-2  $\Omega \cdot \text{cm}$ , sticla Corning.
- Grosimea straturilor de Ti depuse:** 90-200 nm

E  
X  
P  
E  
R  
I  
M  
E  
N  
T

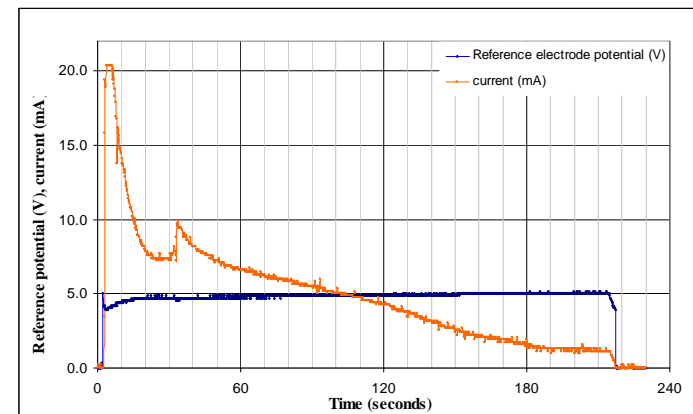


## Instalatia de anodizare

E X P E R I M E N T



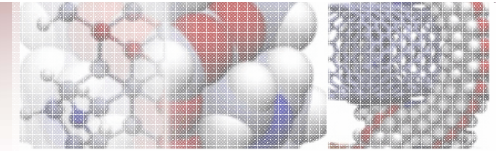
Dispozitiv pentru prinderea si realizarea contactului electric pe suprafata unui substrat.



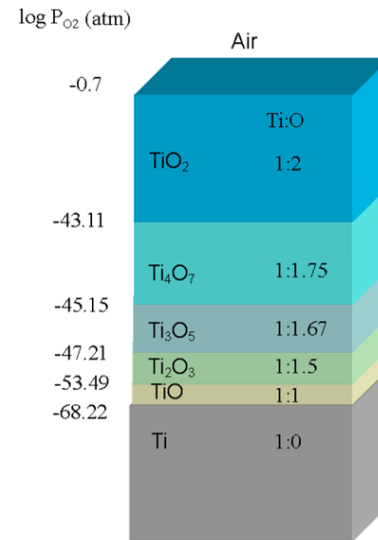
Urmarirea procesului de anodizare la  $V = \text{const.}$



# Observatii experimentale

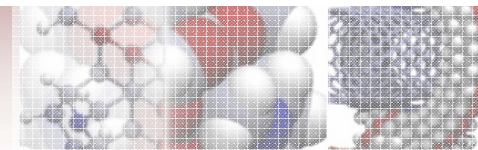


E  
X  
P  
E  
R  
I  
M  
E  
N  
T



*Ilustrarea schematica a interfetei metal-oxid la echilibru, functie de presiunea partiala a O<sub>2</sub> la interfata*

Interfata	Reactiile
Aer/TiO <sub>2</sub>	-
TiO <sub>2</sub> /Ti <sub>4</sub> O <sub>7</sub>	$TiO_2 + 4Ti + 5/2O_2 \rightarrow Ti_4O_7$
Ti <sub>4</sub> O <sub>7</sub> /Ti <sub>3</sub> O <sub>5</sub>	$Ti_4O_7 \rightarrow Ti_3O_5 + Ti + O_2$
Ti <sub>3</sub> O <sub>5</sub> /Ti <sub>2</sub> O <sub>3</sub>	$Ti_3O_5 \rightarrow Ti_2O_3 + Ti + O_2$
Ti <sub>2</sub> O <sub>3</sub> /TiO	$Ti_2O_3 \rightarrow TiO + Ti + O_2$
TiO/Ti	$TiO \rightarrow Ti + 1/2O_2$

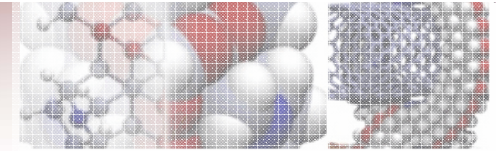


### Electroliti / conditii de reactie

Nr. proba.	pH	Corectie pH	Solutie preparata	Temp (°C)	U (V)	Timp (sec)	Tratament 450°C
24		nu	NH <sub>4</sub> F 0,5% sare	26,4	5	320	Da
22		nu	NH <sub>4</sub> F 0,5% sare	26,4	10	200	Da
20		nu	NH <sub>4</sub> F 0,5% sare	26,4	2,5	560	Da
19		nu	NH <sub>4</sub> F 1% sare	26,4	5	130	Da
23		nu	NH <sub>4</sub> F 1% sare	26,4	10	120	Da
25		nu	NH <sub>4</sub> F 1% sare	26,4	2,5	340	Da
21		nu	NH <sub>4</sub> F 2% sare	26,4	5	160	Da
1/16		nu	NH <sub>4</sub> F 2% sare	26,4	10	40/90	Da
33	5,52	3,7% HF	NH <sub>4</sub> F 10% sare	26,6	5	120	Da
29	4,46	3,7% HF	NH <sub>4</sub> F 10% sare	26,6	5	120	Da
28	6,70	3,7% HF	NH <sub>4</sub> F 10% sare	26,6	5	120	Da
31	8,42	10% NH <sub>4</sub> OH	NH <sub>4</sub> F 10% solutie	26,6	5 → 25	420	Da
34	6,40	3,7% HF	NH <sub>4</sub> F 10% solutie	26,6	5	150	Da
26	6,02	3,7% HF	NH <sub>4</sub> F 10% solutie	26,6	5	180	Da
30	7,82	10% NH <sub>4</sub> OH	NH <sub>4</sub> F 10% solutie	26,6	5 → 20	360	Da
41	7,08	nu	8,25%NH <sub>4</sub> F, 30%H <sub>2</sub> O	17	5		Da
39	6,9	nu	10%NH <sub>4</sub> F, 52,5%H <sub>2</sub> O	20	5		Da
38	6,9	nu	10%NH <sub>4</sub> F, 52,5%H <sub>2</sub> O	28	5		Da
37	6,55	nu	1,44%NH <sub>4</sub> F, 30%H <sub>2</sub> O	26,8	5		Da
36	6,30	nu	1%NH <sub>4</sub> F, 51,4%H <sub>2</sub> O	26,8	5		Da

E  
X  
P  
E  
R  
I  
M  
E  
N  
T

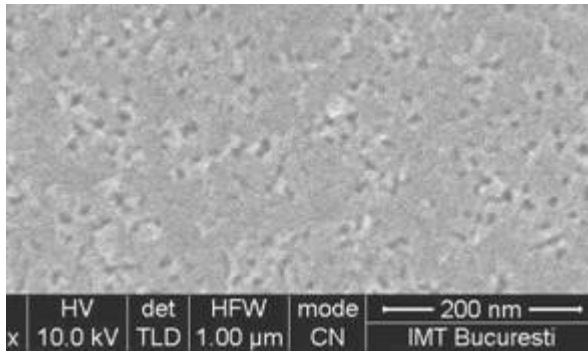




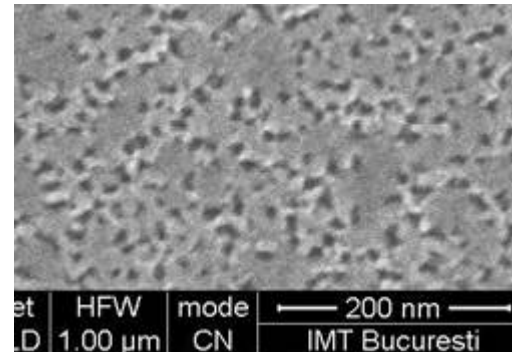
## CARACTERIZAREA STRATURILOR NANOPOROASE DE $\text{TiO}_2$ OBTINUTE PRIN ANODIZARE PE SUBSTRATE DE SILICIU SI STICLA

### Morfologia suprafetei $\text{TiO}_2$ prin SEM

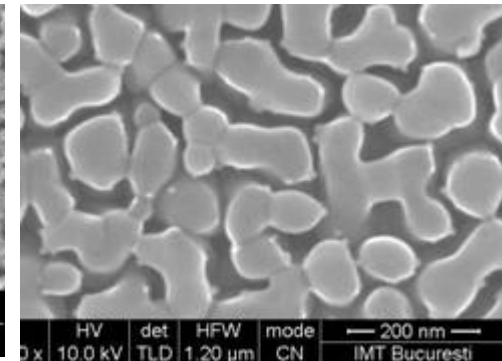
C  
A  
R  
A  
C  
T  
E  
R  
I  
Z  
A  
R  
I



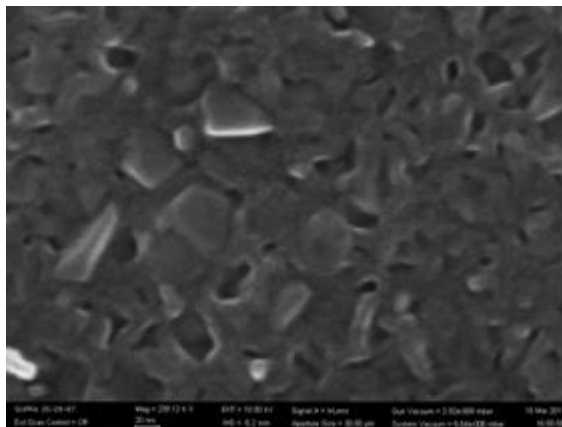
$\text{TiO}_2$  pe siliciu,  
Solutie 10%  $\text{NH}_4\text{F}$  in MEG,  
 $V = 5\text{V}$ ,  $\text{pH} = 6,4$



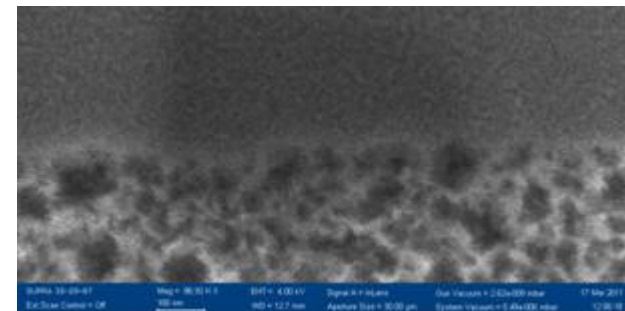
$\text{TiO}_2$  pe siliciu,  
Solutie 10%  $\text{NH}_4\text{F}$  in MEG,  $V = 5\text{V}$ ,  $\text{pH} = 6,4$ , tratat la  $450^\circ\text{C}$ , (anatase)

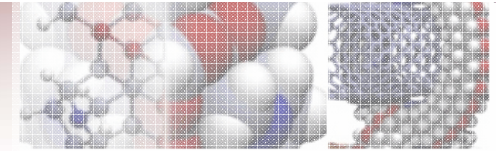


$\text{TiO}_2$  pe siliciu,  
Solutie 10%  $\text{NH}_4\text{F}$  in MEG,  $V = 5\text{V}$ ,  $\text{pH} = 6,4$ , tratat la  $860^\circ\text{C}$ , (rutil)



$\text{TiO}_2$  pe sticla, tratat la  $450^\circ\text{C}$ , (anatase)

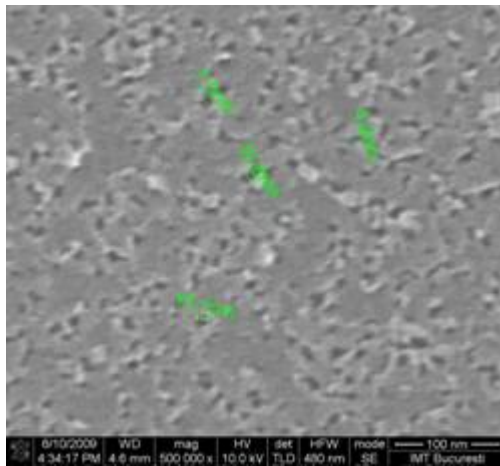




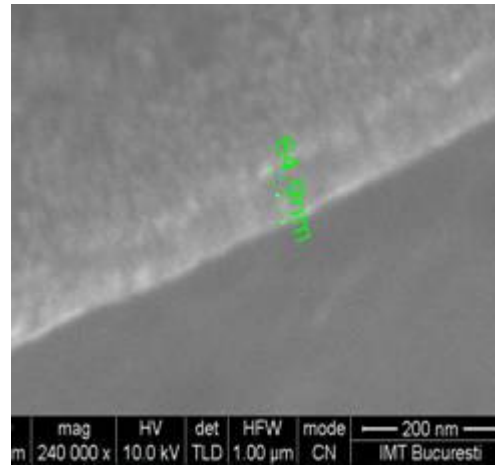
## Dimensiunea porilor

## Straturi de TiO<sub>2</sub> dopate

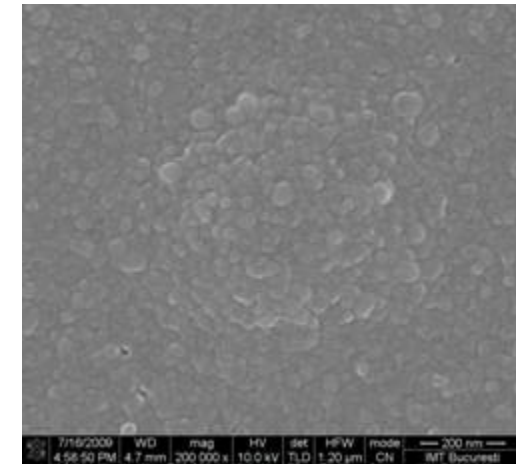
C  
A  
R  
A  
C  
T  
E  
R  
I  
Z  
A  
R  
I



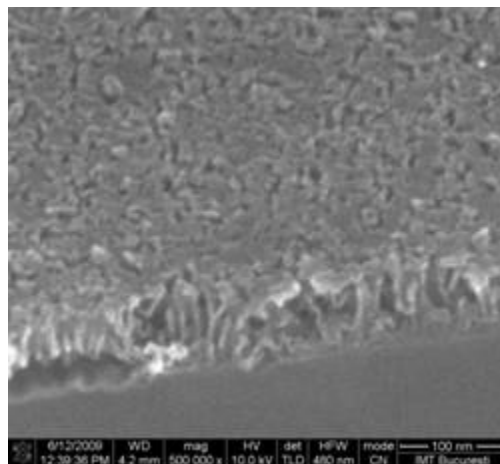
TiO<sub>2</sub> nedopat



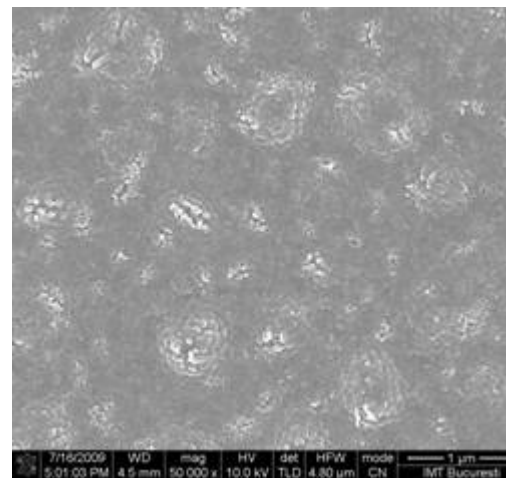
TiO<sub>2</sub> dopat cu fosfor din POCl<sub>3</sub> termic la 450 °C

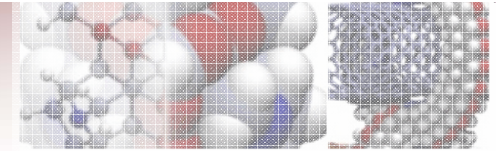


TiO<sub>2</sub> dopat cu fosfor din solutie de acid fosforic H<sub>3</sub>PO<sub>4</sub> si acid oxalic(COOH)<sub>2</sub>



TiO<sub>2</sub> dopat cu Pd din solutie de PdCl<sub>2</sub>

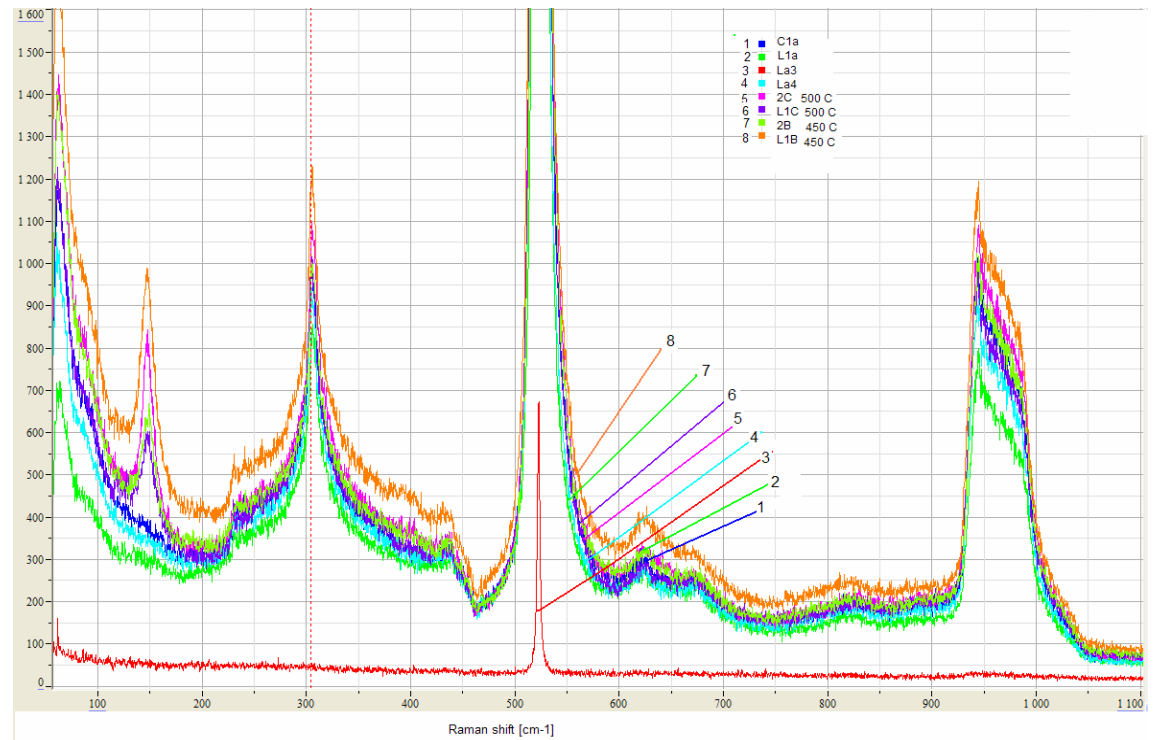




## CARACTERIZARI STRUCTURALE

C  
A  
R  
A  
C  
T  
E  
R  
I  
Z  
A  
R  
I

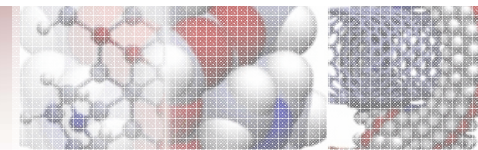
Spectre Raman pentru probele de  $\text{TiO}_2$  obtinute pe substrat de siliciu



1-6 sunt anodizate toate la  $I=60$  mA si  
 1- la 5V si 60 mA, 2 min.  $26^\circ\text{C}$  ;  
 2- 5V, 5min.,  $26^\circ\text{C}$  ;  
 3- 8min, 7V si 3V,  $26^\circ\text{C}$  ;  
 4- 5V, 6,5 min.,  $32^\circ\text{C}$  ; 5- 2C 8min, 7V,  
 $26^\circ\text{C}$  tratat la  $500^\circ\text{C}$ ;

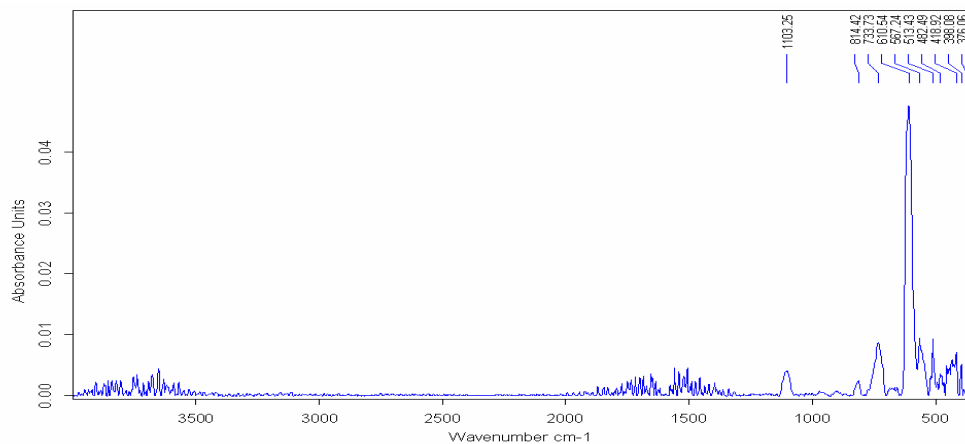
6- 5V, 5min.,  $260^\circ\text{C}$  , tratat la  $500^\circ\text{C}$  ;  
 7- 5V, 6min., 11 min, tratat la  $450^\circ\text{C}$  ;  
 8- 5V, 5min.,  $260^\circ\text{C}$ , tratat la  $450^\circ\text{C}$  .

Conditii optime pentru obtinere  $\text{TiO}_2$ -anatase prin anodizarea Ti, sunt: 5V, 60 mA,  $450^\circ\text{C}$ , solutia acida  $0,5\% \text{NH}_4\text{F}$  [100%]; MEG;  $\text{H}_2\text{O}$ ,  $\text{ph}=6,2$ .

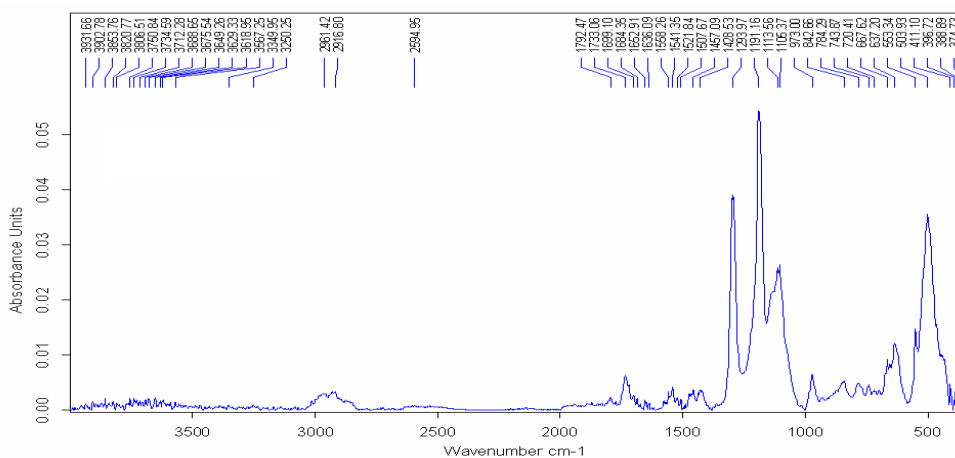


## Spectre FTIR relevante ale unor probe de oxid de titan obtinut prin anodizarea electrochimica a Ti

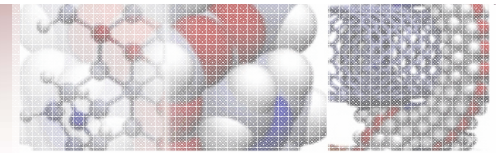
C  
A  
R  
A  
C  
T  
E  
R  
I  
Z  
A  
R  
I



Spectrul probei de oxid de titan obtinut prin anodizarea intr-un electrolit format din 0,5%NH<sub>4</sub>F[100%]: MEG:H<sub>2</sub>O), ph=6,2 5V, 60 mA.



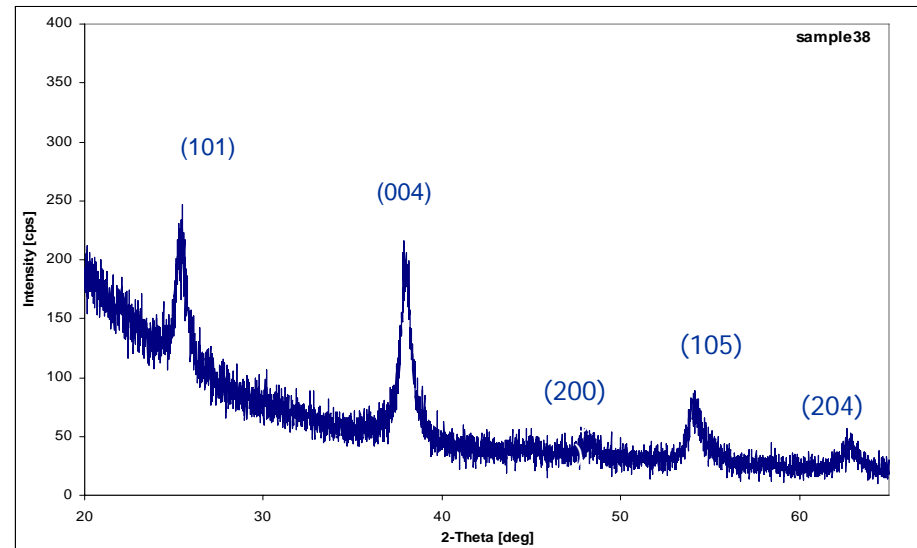
Spectrul probei de oxid de titan obtinut prin anodizarea intr-un electrolit format din acid oxalic si acid orto fosforic



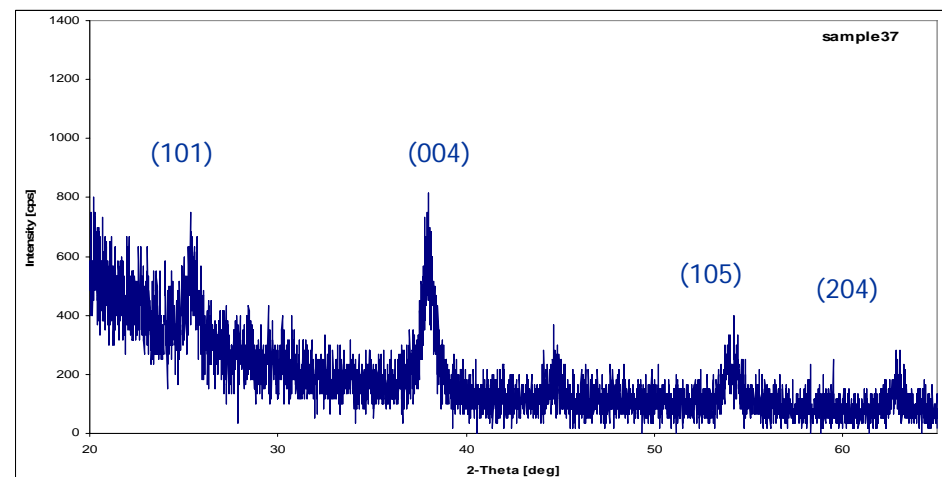
C  
A  
R  
A  
C  
T  
E  
R  
I  
Z  
A  
R  
I

## Spectre de raze X

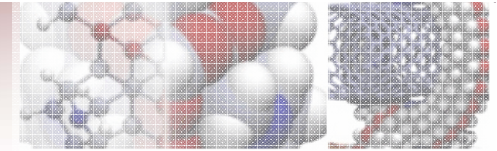
Spectru X-ray al unei probe in care apar numai picurile caracteristice pentru anatase



Spectru X-ray al unei probe in care apare si un pic caracteristic pentru rutil, la  $44^\circ$

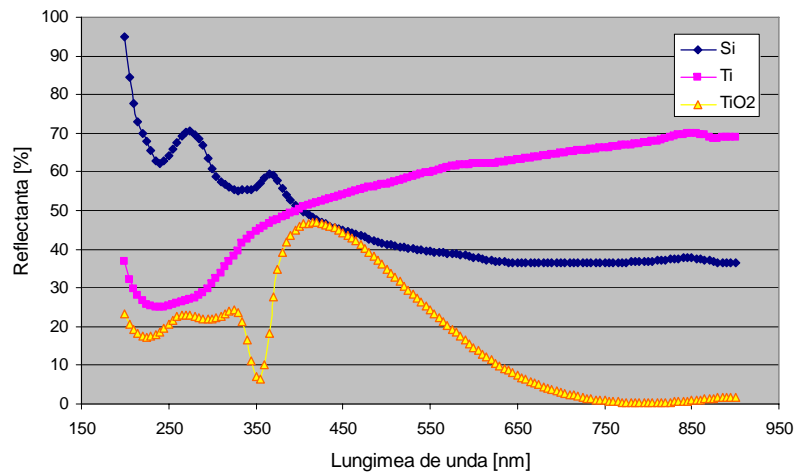






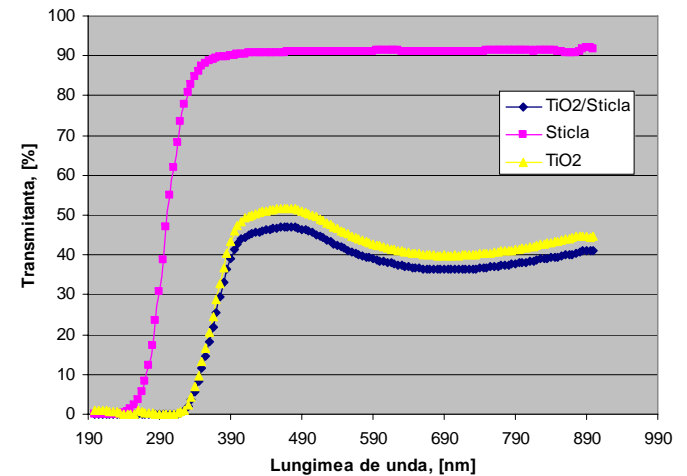
## CARACTERIZARI OPTICE ALE FILMELOR DE TiO<sub>2</sub>

C  
A  
R  
A  
C  
T  
E  
R  
I  
Z  
A  
R  
I

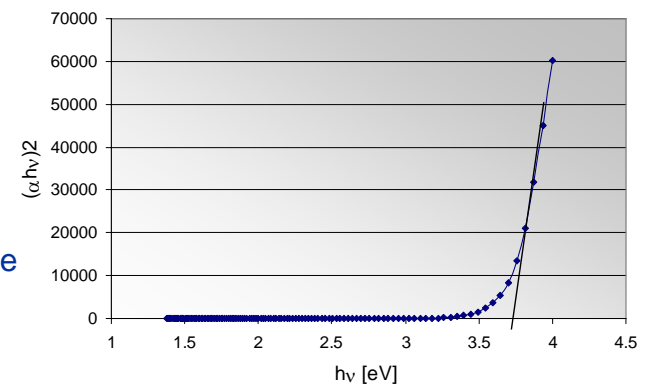


Dependenta spectrala a reflectantei pentru straturile de Ti, TiO<sub>2</sub> si pentru Si. Pentru TiO<sub>2</sub> reflectanta are valoare minima in domeniul  $\lambda > 700\text{nm}$ .

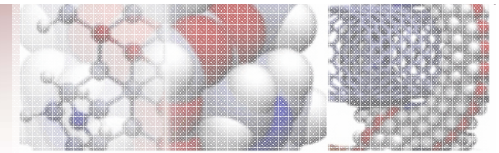
Determinarea benzii interzise pentru TiO<sub>2</sub>



Dependenta spectrala a transmitantei pentru straturile de TiO<sub>2</sub> si sticla si pentru TiO<sub>2</sub>/sticla.







# C O N C L U Z I I

- ⇒ S-au obtinut filme subtiri de  $\text{TiO}_2$  faza anatase prin anodizarea Ti metalic depus prin sputtering pe substrat de siliciu si de sticla.
- ⇒ Filmele obtinute sunt nano-poroase (3-10nm) in conditii de anodizare la tensiune constanta in domeniul 5-10 V.
- ⇒ S-a utilizat o solutie usor acida pe baza de fluorura de amoniu.
- ⇒ Experimental s-au determinat conditiile necesare pentru obtinerea porilor cu dimensiuni controlate.
- ⇒ Straturile nanoporoase de  $\text{TiO}_2$  obtinute pot fi utilizate la realizarea de celule solare pe baza de pigmenti si la senzori bio si de gaze